

本文引用:肖蓬莉,郭淑利,王双琳,等.三氧化二砷联合雷帕霉素对急性髓系白血病 THP-1 细胞增殖、凋亡及自噬的影响[J].新乡医学院学报,2020,37(9):818-823. DOI:10.7683/xxxyxb.2020.09.003.

【基础研究】

三氧化二砷联合雷帕霉素对急性髓系白血病 THP-1 细胞增殖、凋亡及自噬的影响

肖蓬莉¹, 郭淑利¹, 王双琳^{1,2}, 刘思哲^{1,2}, 彭 靓¹, 王万里¹, 王松云¹, 王慧睿¹

(1. 郑州大学附属洛阳中心医院血液科,河南 洛阳 471009;2. 新乡医学院研究生院,河南 新乡 453003)

摘要: 目的 探讨三氧化二砷(As_2O_3)单用或联合雷帕霉素(Rapa)对急性髓系白血病 THP-1 细胞增殖、凋亡和自噬的影响及其可能的分子机制。方法 将对数生长期急性髓系白血病 THP-1 细胞分为对照组、 As_2O_3 单药组、Rapa 单药组及 $\text{As}_2\text{O}_3 + \text{Rapa}$ 组。 As_2O_3 、Rapa 单药组分别应用终浓度 0.75、1.50、3.00、6.00、12.00 $\mu\text{mol} \cdot \text{L}^{-1}$ As_2O_3 以及 10、20、40、80、160 nmol $\cdot \text{L}^{-1}$ Rapa 干预细胞, $\text{As}_2\text{O}_3 + \text{Rapa}$ 组细胞给予 3 mol $\cdot \text{L}^{-1}$ As_2O_3 和 40 mmol $\cdot \text{L}^{-1}$ Rapa 干预,对照组细胞采用正常培养基培养。应用细胞计数试剂盒-8(CCK-8)检测 3 $\mu\text{mol} \cdot \text{L}^{-1}$ $\text{As}_2\text{O}_3 + 40$ nmol $\cdot \text{L}^{-1}$ Rapa 联合用药对 THP-1 细胞的增殖抑制率;流式细胞术检测各组 THP-1 细胞的凋亡率;实时荧光定量聚合酶链反应检测各组 THP-1 细胞中自噬相关基因 Beclin1、LC3 和 p62 mRNA 的表达;Western blotting 检测各组 THP-1 细胞中自噬相关蛋白微管相关蛋白 1 轻链 3(LC3)-II/LC3-I 的表达。结果 As_2O_3 单独用药和 Rapa 单独用药时,随着药物浓度增加对急性髓系白血病 THP-1 细胞的增殖抑制作用逐渐增强,呈剂量依赖关系($P < 0.05$)。 As_2O_3 和 Rapa 对急性髓系白血病 THP-1 细胞的 IC_{50} 分别为 5.794 $\mu\text{mol} \cdot \text{L}^{-1}$ 和 77.274 nmol $\cdot \text{L}^{-1}$; $\text{As}_2\text{O}_3 + \text{Rapa}$ 组急性髓系白血病 THP-1 细胞增殖抑制率显著高于 As_2O_3 、Rapa 单药组($P < 0.05$);与 As_2O_3 、Rapa 单药组比较, $\text{As}_2\text{O}_3 + \text{Rapa}$ 组 THP-1 细胞中自噬相关基因 Beclin-1 和 LC3 mRNA 表达水平显著升高($P < 0.05$),p62 mRNA 表达水平显著降低($P < 0.05$)。与 As_2O_3 和 Rapa 单药组比较, $\text{As}_2\text{O}_3 + \text{Rapa}$ 组 THP-1 细胞中 LC3-II/LC3-I 比值显著增高($P < 0.05$)。结论 As_2O_3 联合 Rapa 可协同抑制 THP-1 细胞增殖,诱导 THP-1 细胞凋亡,其效应可能通过引起 THP-1 细胞过度自噬实现。

关键词: 三氧化二砷;雷帕霉素;THP-1 细胞;增殖;凋亡;自噬

中图分类号: R714.22 文献标志码: A 文章编号: 1004-7239(2020)09-0818-06

Effects of arsenic trioxide combined with rapamycin on proliferation, apoptosis and autophagy of acute myeloid leukemia THP-1 cells

XIAO Pengli¹, GUO Shuli¹, WANG Shuanglin^{1,2}, LIU Sizhe^{1,2}, PENG Liang¹, WANG Wanli¹, WANG Songyun¹, WANG Huirui¹

(1. Department of Hematology, Luoyang Central Hospital Affiliated to Zhengzhou University, Luoyang 471009, Henan Province, China; 2. Graduate School, Xinxiang Medical University, Xinxiang 453003, Henan Province, China)

Abstract: **Objective** To observe the effects of arsenic trioxide (As_2O_3) combined with rapamycin (Rapa) on the proliferation, apoptosis and autophagy of acute myeloid leukemia THP-1 cells, and investigate the underlying mechanisms. **Methods** The THP-1 cells in the logarithmic growth stage were divided into the control group, the As_2O_3 treatment group, the Rapa treatment group and the $\text{As}_2\text{O}_3 + \text{Rapa}$ group. The As_2O_3 treatment group and the Rapa treatment group were treated with 0.75, 1.50, 3.00, 6.00, 12.00 $\mu\text{mol} \cdot \text{L}^{-1}$ As_2O_3 and 10, 20, 40, 80 and 160 nmol $\cdot \text{L}^{-1}$ Rapa, respectively; the cells in $\text{As}_2\text{O}_3 + \text{Rapa}$ group were treated with 3 $\mu\text{mol} \cdot \text{L}^{-1}$ As_2O_3 and 40 nmol $\cdot \text{L}^{-1}$ Rapa; the cells in blank control group were cultured in normal medium. The inhibitory effects of As_2O_3 and Rapa alone, as well as in a combination of As_2O_3 and Rapa on THP-1 cell proliferation were detected by using cell counting kit-8 method; the apoptosis of THP-1 cells in the blank control group, As_2O_3 treatment group, Rapa treatment group and $\text{As}_2\text{O}_3 + \text{Rapa}$ group was detected by using flow cytometry; the expressions of autophagy associated gene Beclin1, microtubule-associated 1 light chain 3(LC3) and p62 mRNA and protein in THP-1 cells in the four groups were measured by using real-time quantitative polymerase chain reaction and Western blotting, respectively.

Results The growth inhibition rate of As_2O_3 or Rapa alone on the cell proliferation increased with the augment of drug concentration in a concentration-dependent manner($P < 0.05$). The IC_{50} of As_2O_3 and Rapa on THP-1 cells were 5.794 $\mu\text{mol} \cdot \text{L}^{-1}$ and 77.274 nmol $\cdot \text{L}^{-1}$, respectively. The cell proliferation inhibition rate and apoptosis ratio in the $\text{As}_2\text{O}_3 + \text{Rapa}$ group were significantly higher than those in the As_2O_3 treatment group and the Rapa treatment group ($P < 0.05$). The expression of

DOI:10.7683/xxxyxb.2020.09.003

收稿日期:2019-12-31

基金项目:河南省医学科技攻关计划项目(编号:2018020905,SB201903035);洛阳市科技计划医疗卫生项目(编号:1910014A)。

作者简介:肖蓬莉(1989-),女,河南洛阳人,硕士,检验师,研究方向:急性髓系白血病的发病机制及防治。

通信作者:王慧睿(1978-),女,河南洛阳人,博士,副教授,主任医师,研究方向:急性髓系白血病的发病机制及防治;E-mail:wanghuirui7873@163.com。

autophagy related genes Beclin-1,LC-3 mRNA in the THP-1 cells in the $\text{As}_2\text{O}_3 + \text{Rapa}$ group were significantly higher than those in the As_2O_3 treatment group and the Rapa treatment group ($P < 0.05$) , the expression of p62 mRNA was significantly lower than that in the As_2O_3 treatment group and the Rapa treatment group ($P < 0.05$) . The ratio of LC3-II/LC3-I in the $\text{As}_2\text{O}_3 + \text{Rapa}$ group was significantly higher than that in the As_2O_3 treatment group and the Rapa treatment group ($P < 0.05$) .

Conclusion Combination of As_2O_3 and Rapa can inhibit THP-1 cell proliferation, induce THP-1 cell apoptosis, which may be achieved by inducing excessive autophagy of THP-1 cells.

Key words: arsenic trioxide; rapamycin; THP-1 cell; proliferation; apoptosis; autophagy

急性髓系白血病(acute myeloid leukemia, AML)是临床最常见的血液系统恶性肿瘤之一。尽管目前临床所采用的化学治疗或造血干细胞移植(hematopoietic stem cell transplantation, HSCT)等方法在 AML 的治疗方面取得了较大进展,但仍有一部分患者会出现难治或复发^[1]。此外,治疗费用高、HSCT 配型困难、不良反应多等不利因素也影响了这些治疗方法的临床应用。因此,有必要寻找新型治疗药物。三氧化二砷(arsenic trioxide, As_2O_3)是中药砒霜的主要成分,我国学者将 As_2O_3 用于急性早幼粒细胞白血病(acute promyelocytic leukemia, APL)的靶向治疗取得了巨大成功^[2]。有研究表明, As_2O_3 不仅对 APL 具有显著疗效,对多种恶性血液病细胞也有显著的抑制增殖和促进凋亡作用^[2-3]。 As_2O_3 可协同促进其他药物的药效,提高放射治疗、化学治疗的敏感性,且可通过诱导自噬使肿瘤细胞凋亡^[4],但 As_2O_3 单独使用临床效果有限。雷帕霉素(rapamycin, Rapa)最初是一种抗真菌抗生素和免疫抑制剂,主要用于器官移植后急性排斥反应的防治。有文献报道,恶性血液肿瘤存在雷帕霉素靶蛋白(mammalian target of rapamycin, mTOR)信号通路的异常激活,而 Rapa 能特异性结合并抑制哺乳动物 mTOR 的活性,诱导自噬发生^[5-6]。Rapa 对多种肿瘤如非小细胞性肾癌、乳腺癌等有一定治疗作用,但单独使用抗肿瘤效果并不明显,可能是因为其他分子信号通路被激活^[7-8]。因此,本研究拟探讨 As_2O_3 与 Rapa 联合用药对 AML 细胞株 THP-1 细胞增殖、凋亡和自噬的影响,以期为其临床应用提供理论依据。

1 材料与方法

1.1 细胞、试剂与仪器 人急性髓系白血病 THP-1 细胞株购自中国科学院细胞库,液氮冷冻保存; As_2O_3 购自北京双鹭药业股份有限公司,Rapa 购自美国 Selleck Chemicals 公司,RPMI-1640 和胎牛血清购自美国 Hyclone 公司,细胞计数试剂盒-8 (cell counting kit-8, CCK-8)、二喹啉甲酸(bicinchoninic

acid, BCA) 购自上海碧云天生物技术有限公司,膜联蛋白 V-异硫氰酸荧光素(annexin V-fluorescein isothiocyanate, Annexin V-FITC)/碘化丙啶(propidium iodide, PI)凋亡检测试剂盒购自北京索莱宝科技有限公司,TRIzol、反转录试剂盒和 SYBR green 荧光染料购自大连 TaKaRa 公司,引物由上海生工生物工程有限公司合成,微管相关蛋白 1 轻链 3(microtubule-associated protein 1 light chain 3, LC3)抗体购自美国 Abcam 公司,甘油醛-3-磷酸脱氢酶(glyceraldehyde 3-phosphate dehydrogenase, GAPDH)抗体购自杭州华安生物技术有限公司,增强化学发光(enhanced chemiluminescence, ECL)检测试剂购自美国 Millipore 公司;超净工作台、 CO_2 培养箱、多功能酶标仪、冷冻离心机购自美国 Thermo 公司,荧光定量聚合酶链式反应(polymerase chain reaction, PCR)仪购自美国 ABI 公司,流式细胞仪购自美国 BD 公司。

1.2 实验方法

1.2.1 细胞培养 THP-1 细胞株培养于含体积分数 10% 胎牛血清、 $10^5 \text{ U} \cdot \text{L}^{-1}$ 青霉素、 $100 \text{ mg} \cdot \text{L}^{-1}$ 链霉素的 RPMI-1640 培养基中,置于 37 °C、含体积分数 5% CO_2 、饱和湿度培养箱中培养,每 2~3 d 换液并传代。

1.2.2 CCK-8 检测各组细胞的增殖抑制率 选取浓度为 0.75、1.50、3.00、6.00、12.00 $\mu\text{mol} \cdot \text{L}^{-1}$ As_2O_3 以及 10、20、40、80、160 nmol $\cdot \text{L}^{-1}$ Rapa 进行预试验以确定 As_2O_3 和 Rapa 联合用药浓度及培养时间。取对数生长期 THP-1 细胞,调整细胞密度为 $2 \times 10^8 \text{ L}^{-1}$,接种于 96 孔板,每孔 100 μL ,加入不同浓度的 As_2O_3 和 Rapa,使 As_2O_3 的终浓度分别为 0.75、1.50、3.00、6.00、12.00 $\mu\text{mol} \cdot \text{L}^{-1}$,Rapa 的终浓度分别为 10、20、40、80、160 nmol $\cdot \text{L}^{-1}$,每个浓度设 4 个复孔,同时设不加药培养的 THP-1 细胞为对照孔,另设不含细胞的培养液为空白孔,置于 37 °C、含体积分数 5% CO_2 、饱和湿度培养箱中培养 24、48 h 后,每孔加入 10 μL 的 CCK-8 溶液,在培养箱孵育 4 h,用酶标仪测定 450 nm 处的吸光度(A)值,计算各组细胞的增殖抑制率,细胞增殖抑制率

(%) = [1 - (A_{实验孔} - A_{空白孔}) / (A_{对照空孔} - A_{空白孔})] × 100%，再计算半数抑制浓度(50% inhibitory concentration, IC₅₀)，IC₅₀ = lg - 1 [Xm - i (Σ P - 0.5)] (Xm:最大浓度的对数值;i:各浓度倍比浓度的对数值;ΣP:各组生长抑制率之和;0.5:经验常数)。根据预实验结果,选择对 THP-1 细胞增殖抑制作用较弱的 24 h 作为后续实验作用时间。As₂O₃、Rapa 对 THP-1 细胞作用 24 h 的 IC₅₀ 分别为 5.794 μmol · L⁻¹ 和 77.274 nmol · L⁻¹,因此选择 3 μmol · L⁻¹ As₂O₃ 和 40 nmol · L⁻¹ Rapa 联合用药,设置 3 μmol · L⁻¹ As₂O 单药组、40 nmol · L⁻¹ Rapa 单药组及 3 μmol · L⁻¹ As₂O₃ + 40 nmol · L⁻¹ Rapa 组,并应用 CCK-8 检测各组细胞增殖抑制率。

1.2.3 流式细胞术检测细胞凋亡 应用 AnnexinV-FITC/PI 双染法进行检测。取对数生长期 THP-1 细胞,随机分为对照组、As₂O 单药组、Rapa 单药组及 As₂O₃ + Rapa 组,对照组不加任何药物干预,As₂O 单药组给予 3 μmol · L⁻¹ As₂O₃ 干预, Rapa 单药组给予 40 nmol · L⁻¹ Rapa 干预,As₂O₃ + Rapa 组给予 3 μmol · L⁻¹ As₂O₃ 和 40 nmol · L⁻¹ Rapa 联合干预;各组加入相应浓度的药物混匀,调整细胞密度为 1 × 10⁹ L⁻¹,每孔 2 mL 接种于 6 孔板,置于 37 °C、体积分数 5% CO₂ 饱和湿度培养箱中培养 24 h 后,收集各组细胞,使用预冷磷酸盐缓冲液(phosphate buffered saline, PBS)洗涤,用 1 × Binding Buffer 重悬细胞,使细胞的密度达到 1 × 10⁶ L⁻¹,每管加入 100 μL 细胞(1 × 10⁵ 个),加入 5 μL Annexin V-FITC 轻轻地混匀,室温条件下避光孵育 10 min;随后加入 5 μL PI,用移液枪混匀,室温条件下避光孵育 5 min,最后加入 PBS 至 500 μL,轻轻混匀,在 1 h 内用流式细胞仪检测,实验重复 3 次,取均值。

1.2.4 实时荧光定量聚合酶链反应(real-time quantitative polymerase chain reaction, qRT-PCR) 检测自噬相关基因 mRNA 表达水平 取对数生长期 THP-1 细胞,随机分为对照组、As₂O 单药组、Rapa 单药组及 As₂O₃ + Rapa 组,对照组不加任何药物干预,As₂O 单药组给予 3 μmol · L⁻¹ As₂O₃ 干预, Rapa 单药组给予 40 nmol · L⁻¹ Rapa 干预,As₂O₃ + Rapa 组给予 3 μmol · L⁻¹ As₂O₃ 和 40 nmol · L⁻¹ Rapa 联合干预;各组加入相应浓度的药物混匀,调整细胞密度为 1 × 10⁹ L⁻¹,每孔 2 mL 接种于 6 孔板,置于 37 °C、含体积分数 5% CO₂ 饱和湿度培养箱中培养 24 h 后,收集各组细胞,总 RNA 提取和纯化按照 TRIzol 说明书进行。应用反转录试剂盒将

1 μg RNA 反转录为 cDNA,随后使用 SYBR Green qRT-PCR 试剂盒进行 qRT-PCR 反应,检测 Beclin1、LC3、p62 mRNA 表达。内参 GAPDH 上游引物序列为 5'-CCAGCAAGAGCACAAAGAGGAA-3',下游引物序列为 5'-CAAGGGTCTACATGGCAACT-3';Beclin1 上游引物序列为 5'-GAGGGATGGAAGGGTCTAAG-3',下游引物序列为 5'-GCCTGGCTGTGGTAAGT-3';LC3 上游引物序列为 5'-GTTGGTCAAGATCATCCGGC-3',下游引物序列为 5'-TCAGAAGCCGAAGGTTCCCT-3';p62 上游引物序列为 5'-GGGGACTTGGTTGCCTTTT-3',下游引物序列为 5'-CAGCCATCGCAGATCACATT-3'。扩增条件如下,第 1 阶段:预变性(95 °C 30 s);第 2 阶段:PCR 反应(95 °C 5 s, 60 °C 30 s)40 个循环;第 3 阶段:溶解曲线分析(95 °C 15 s, 60 °C 60 s, 95 °C 15 s)。qRT-PCR 检测结果采用 2^{-ΔΔ Ct} 方法进行分析。

1.2.5 Western blotting 检测 THP-1 细胞中自噬相关蛋白 LC3-II/LC3-I 的表达情况 取对数生长期 THP-1 细胞,随机分为对照组、As₂O 单药组、Rapa 单药组及 As₂O₃ + Rapa 组,对照组不加任何药物干预,As₂O 单药组给予 3 μmol · L⁻¹ As₂O₃ 干预, Rapa 单药组给予 40 nmol · L⁻¹ Rapa 干预,As₂O₃ + Rapa 组给予 3 μmol · L⁻¹ As₂O₃ 和 40 nmol · L⁻¹ Rapa 联合干预;各组加入相应浓度的药物混匀,调整细胞密度为 1 × 10⁹ L⁻¹,每孔 2 mL 接种于 6 孔板,置于 37 °C、含体积分数 5% CO₂ 饱和湿度培养箱中培养 24 h 后收集细胞,PBS 洗涤后在各组 THP-1 细胞中加入细胞裂解液提取总蛋白,使用 BCA 进行蛋白定量,各组使用等量总蛋白进行十二烷基硫酸钠-聚丙烯酰胺凝胶电泳法(sodium dodecyl sulfatepolyacrylamide gel electrophoresis, SDS-PAGE)电泳,常规转膜;聚偏氟乙烯膜(polyvinylidene fluo-ride, PVDF)经室温体积分数 5% 脱脂牛奶封闭 1 h 后,加入 LC3(一抗稀释比例为 1:1 500)抗体 4 °C 孵育过夜;次日洗膜 3 次后加入二抗(二抗稀释比例为 1:5 000)室温孵育 1 h,洗膜 3 次后,ECL 检测试剂与膜作用,在暗室中曝光,X 射线显影、定影,Image J 软件分析条带的灰度值。以 GAPDH 为内参对目的蛋白进行灰度值半定量分析。实验重复 3 次,取平均值。

1.3 统计学处理 应用 SPSS 18.0 软件进行统计学分析,计量数据以均数 ± 标准差($\bar{x} \pm s$)表示,2 组间比较采用 t 检验,多组间比较采用方差分析, $P < 0.05$ 为差异有统计学意义。

2 结果

2.1 As₂O₃ 和 Rapa 对 THP-1 细胞增殖的抑制作用

用及 IC₅₀ 的筛选 结果见表 1 和表 2。不同浓度 As₂O₃ 和 Rapa 组 THP-1 细胞增殖抑制率均高于空白对照组, 差异有统计学意义 ($P < 0.05$)。随药物浓度增加, As₂O₃ 和 Rapa 对 THP-1 细胞的增殖抑制作用逐渐增强, 呈剂量依赖关系 ($P < 0.05$)。对照组、3 μmol · L⁻¹ As₂O₃ 组、40 nmol · L⁻¹ Rapa 组及 3 μmol · L⁻¹ As₂O₃ + 40 nmol · L⁻¹ Rapa 组细胞增殖抑制率分别为 (0.000 ± 0.000)%、(31.705 ± 1.266)%、(27.562 ± 1.888)%、(48.253 ± 1.052)%, 与 3 μmol · L⁻¹ As₂O₃ 组和 40 nmol · L⁻¹ Rapa 组比较, 3 μmol · L⁻¹ As₂O₃ + 40 nmol · L⁻¹ Rapa 组细胞增殖抑制率显著升高, 差异有统计学意义 ($P < 0.05$)。

表 1 As₂O₃ 对 THP-1 细胞增殖的抑制作用

Tab. 1 Inhibitory effect of As₂O₃ on THP-1 cells proliferation

($\bar{x} \pm s$)

组别	n	细胞增殖抑制率/%	
		24 h	48 h
对照组	3	0.000 ± 0.000	0.000 ± 0.000
0.75 μmol · L ⁻¹ As ₂ O ₃ 组	3	10.750 ± 1.768 ^a	18.265 ± 2.468 ^a
1.50 μmol · L ⁻¹ As ₂ O ₃ 组	3	19.451 ± 1.485 ^{ab}	30.055 ± 2.185 ^{ab}
3.00 μmol · L ⁻¹ As ₂ O ₃ 组	3	27.852 ± 1.485 ^{abc}	40.155 ± 1.478 ^{abc}
6.00 μmol · L ⁻¹ As ₂ O ₃ 组	3	39.811 ± 1.697 ^{abcd}	51.495 ± 0.997 ^{abcd}
12.00 μmol · L ⁻¹ As ₂ O ₃ 组	3	56.312 ± 1.131 ^{abcde}	65.011 ± 1.117 ^{abcde}

注:与对照组比较^a $P < 0.05$;与 0.75 μmol · L⁻¹ As₂O₃ 组比较^b $P < 0.05$;与 1.50 μmol · L⁻¹ As₂O₃ 组比较^c $P < 0.05$;与 3.00 μmol · L⁻¹ As₂O₃ 组比较^d $P < 0.05$;与 6.00 μmol · L⁻¹ As₂O₃ 组比较^e $P < 0.05$ 。

表 2 Rapa 对 THP-1 细胞增殖的抑制作用

Tab. 2 Inhibitory effect of Rapa on THP-1 cells proliferation

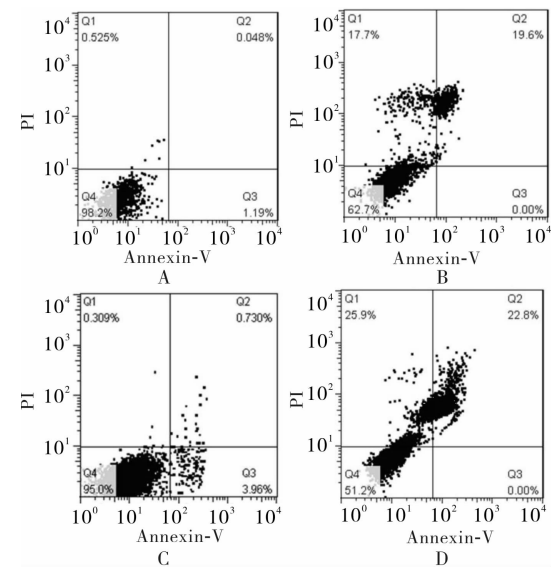
($\bar{x} \pm s$)

组别	n	细胞增殖抑制率/%	
		24 h	48 h
对照组	3	0.000 ± 0.000	0.000 ± 0.000
10 nmol · L ⁻¹ Rapa 组	3	9.760 ± 1.754 ^a	11.805 ± 0.983 ^a
20 nmol · L ⁻¹ Rapa 组	3	18.155 ± 0.912 ^{ab}	25.052 ± 1.336 ^{ab}
40 nmol · L ⁻¹ Rapa 组	3	27.762 ± 1.747 ^{abc}	36.506 ± 1.406 ^{abc}
80 nmol · L ⁻¹ Rapa 组	3	38.952 ± 0.771 ^{abcd}	45.007 ± 1.122 ^{abcd}
160 nmol · L ⁻¹ Rapa 组	3	47.056 ± 0.911 ^{abcde}	51.607 ± 1.706 ^{abcde}

注:与对照组比较^a $P < 0.05$;与 10 nmol · L⁻¹ Rapa 组比较^b $P < 0.05$;与 20 nmol · L⁻¹ Rapa 组比较^c $P < 0.05$;与 40 nmol · L⁻¹ Rapa 组比较^d $P < 0.05$;与 80 nmol · L⁻¹ Rapa 组比较^e $P < 0.05$ 。

2.2 As₂O₃、Rapa 单用及二者联合用药对 THP-1 细胞凋亡的诱导作用 结果见图 1。对照组、3 μmol · L⁻¹ As₂O₃ 组、40 nmol · L⁻¹ Rapa 组和 3 μmol · L⁻¹ As₂O₃ + 40 nmol · L⁻¹ Rapa 组细胞凋亡率分别为 (1.47 ± 0.49)%、(4.72 ± 0.67)%、(35.76 ± 2.78)%、(54.13 ± 4.90)% , 3 μmol · L⁻¹ As₂O₃ +

40 nmol · L⁻¹ Rapa 组细胞凋亡率显著高于对照组、3 μmol · L⁻¹ As₂O₃ 组和 40 nmol · L⁻¹ Rapa 组, 差异均有统计学意义 ($P < 0.05$)。



A:对照组;B:3 μmol · L⁻¹ As₂O₃ 组;C:40 nmol · L⁻¹ Rapa 组;D:3 μmol · L⁻¹ As₂O₃ + 40 nmol · L⁻¹ Rapa 组。

图 1 对照组、3 μmol · L⁻¹ As₂O₃ 组、40 nmol · L⁻¹ Rapa 组和 3 μmol · L⁻¹ As₂O₃ + 40 nmol · L⁻¹ Rapa 组作用 24 h 后 THP-1 细胞凋亡率

Fig. 1 Apoptosis rate of THP-1 cells at 24 h in the control group, 3 μmol · L⁻¹ As₂O₃ group, 40 nmol · L⁻¹ Rapa group and 3 μmol · L⁻¹ As₂O₃ + 40 nmol · L⁻¹ Rapa group

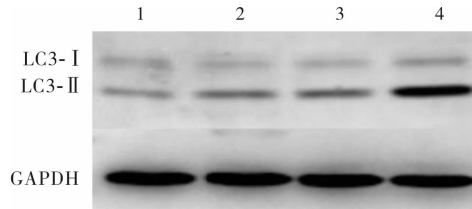
2.3 As₂O₃、Rapa 单用及二者联合用药对 THP-1 细胞自噬相关基因和蛋白表达的影响 结果见表 3 和图 2。与对照组比较, 3 μmol · L⁻¹ As₂O₃ 组、40 nmol · L⁻¹ Rapa 组及 3 nmol · L⁻¹ As₂O₃ + 40 nmol · L⁻¹ Rapa 组 THP-1 细胞中自噬相关基因 Beclin-1、LC3 mRNA 相对表达量显著增加 ($P < 0.05$), p62 mRNA 相对表达量显著降低 ($P < 0.05$); 3 μmol · L⁻¹ As₂O₃ + 40 nmol · L⁻¹ Rapa 组 THP-1 细胞中 Beclin-1、LC3 mRNA 相对表达量显著高于 3 μmol · L⁻¹ As₂O₃ 组和 40 nmol · L⁻¹ Rapa 组 ($P < 0.05$), p62 mRNA 相对表达水平显著低于 3 μmol · L⁻¹ As₂O₃ 组和 40 nmol · L⁻¹ Rapa 组 ($P < 0.05$)。对照组、3 μmol · L⁻¹ As₂O₃ 组、40 nmol · L⁻¹ Rapa 组和 3 μmol · L⁻¹ As₂O₃ + 40 nmol · L⁻¹ Rapa 组 THP-1 细胞中 LC3-II/LC3-I 比率分别为 1.385 ± 0.477 、 2.118 ± 0.558 、 3.731 ± 1.505 、 4.995 ± 0.177 , 3 μmol · L⁻¹ As₂O₃ 组、40 nmol · L⁻¹ Rapa 组及 3 nmol · L⁻¹ As₂O₃ + 40 nmol · L⁻¹ Rapa 组 THP-1 细胞中 LC3-II/LC3-I 比率均显著高于对照组 ($P < 0.05$), 3 μmol · L⁻¹ As₂O₃ + 40 nmol · L⁻¹ Rapa 组 THP-1 细胞中 LC3-II/LC3-I 比率显著高于 3 μmol · L⁻¹ As₂O₃ 组和 40 nmol · L⁻¹ Rapa 组 ($P < 0.05$)。

表3 4组 THP-1 细胞中 Beclin-1、LC3、p62 mRNA 相对表达量比较

Tab. 3 Comparison of relative expression of Beclin-1, LC-3 and p62 mRNA in THP-1 cells among the four groups ($\bar{x} \pm s$)

组别	n	Beclin-1 mRNA	LC-3 mRNA	p62 mRNA
对照组	3	0.997 ± 0.195	0.997 ± 0.115	0.997 ± 0.075
3 μmol · L ⁻¹ As ₂ O ₃ 组	3	1.443 ± 0.111 ^a	1.827 ± 0.155 ^a	0.790 ± 0.082 ^a
40 nmol · L ⁻¹ Rapa 组	3	1.630 ± 0.092 ^a	2.147 ± 0.291 ^a	0.603 ± 0.045 ^a
3 μmol · L ⁻¹ As ₂ O ₃ + 40 nmol · L ⁻¹ Rapa 组	3	2.057 ± 0.080 ^{abc}	3.357 ± 0.391 ^{abc}	0.417 ± 0.031 ^{abc}

注:与对照组比较^aP < 0.05;与3 μmol · L⁻¹ As₂O₃组比较^bP < 0.05;与40 nmol · L⁻¹ Rapa组比较^cP < 0.05。



1:对照组;2:3 μmol · L⁻¹ As₂O₃组;3:40 nmol · L⁻¹ Rapa组;4:3 μmol · L⁻¹ As₂O₃ + 40 nmol · L⁻¹ Rapa组。

图2 对照组、3 μmol · L⁻¹ As₂O₃组、40 nmol · L⁻¹ Rapa组和3 μmol · L⁻¹ As₂O₃ + 40 nmol · L⁻¹ Rapa组 THP-1细胞中 LC3-I、LC3-II 蛋白表达水平(Western blotting)

Fig. 2 Expression of LC3-I, LC3-II protein in THP-1 cells in the control group, the 3 μmol · L⁻¹ As₂O₃ group, the 40 nmol · L⁻¹ Rapa group and the 3 μmol · L⁻¹ As₂O₃ + 40 nmol · L⁻¹ Rapa group (Western blotting)

3 讨论

AML 作为高度异质性恶性血液肿瘤,由于肿瘤细胞克隆演变可导致疾病复发以及对现有治疗药物耐药^[1],积极探寻新型有效药物和作用模式成为进一步提高 AML 临床疗效和改善其预后的重要途径。

越来越多的研究表明,As₂O₃ 在多种急性白血病的治疗中有效,但由于白血病细胞耐药和激活负反馈调节通路等导致 As₂O₃ 的单药作用有限或者所需剂量较高从而伴随严重毒副作用^[2-3]。本研究将 As₂O₃ 单药作用于 THP-1 细胞,当 As₂O₃ 作用浓度较高时才能有效抑制 THP-1 细胞的增殖。因此,寻找减轻其毒副作用的增敏剂,与 As₂O₃ 联用,增强其治疗作用、降低使用剂量,是拓宽 As₂O₃ 在急性白血病临床应用范围的重要手段。

近年,自噬成为肿瘤治疗的新靶点,其中针对自噬信号通路中关键分子 mTOR 的靶向治疗已在临床开展^[9]。Rapa 在 B 细胞恶性肿瘤中的研究表明,在体外 Rapa 可有效抑制套细胞淋巴瘤(mantle cell lymphoma, MCL) 和弥漫大 B 细胞淋巴瘤(diffuse large B-cell lymphoma, DLBCL) 细胞系及患者肿瘤原代细胞的增殖,但在临床试验中该部分患者对 Rapa 类似物的反应有限^[10-11]。在 Rapa 类似物依维莫司治疗复发性淋巴瘤的Ⅱ期临床试验中,DLBCL 的总反应率仅为 30% (14/47)^[12];在替西罗莫司的临床试验观察到类似的结果,DLBCL 的总反应率仅为

28%^[13]。国内也有研究发现,Rapa 单药对 K562 细胞株、HL-60 细胞株、CEM 细胞株的增殖抑制作用均较弱,联合柔红霉素或硼替佐米可增强其抗肿瘤效应^[14]。本研究结果也提示,Rapa 单药对 THP-1 细胞的增殖抑制和凋亡诱导作用均较弱。在 Rapa 类似物联合化学治疗的临床试验中,替西罗莫司联合天冬酰胺酶化学治疗可提高多次复发儿童急性淋巴细胞白血病患者的缓解率,但随药物剂量累积造成药物毒性增强,从而导致患儿耐受性差^[15];而在另一项临床试验中,依维莫司联合强的挽救性化学治疗并未提高急性 B 淋巴细胞白血病的缓解率^[16]。可见,目前 Rapa 与其他药物联合在白血病治疗中的临床效果尚不确切,在 AML 中的研究也较少,因此探索在 AML 治疗中可与 Rapa 发挥有效协同作用且不增加毒性的药物尤为关键。

自噬是 As₂O₃ 发挥抗肿瘤作用的关键机制,As₂O₃ 可诱导伯基特淋巴瘤细胞 Raji 发生自噬,同时下调抗凋亡基因 Bcl-2 的表达^[17]。As₂O₃ 通过 mTOR 依赖的自噬信号通路促使 AML-M3 型急性早幼粒细胞进入一种新的细胞死亡途径—ETosis^[18]。As₂O₃ 还可通过诱导自噬发生来降解 BCR-ABL 融合基因,从而发挥抗肿瘤作用^[19]。本研究结果也表明,As₂O₃ 可诱导 THP-1 细胞发生自噬,自噬相关基因 Beclin-1、LC3 mRNA 相对表达量增加、p62 mRNA 相对表达量降低,同时自噬相关蛋白 LC3-I 向 LC3-II 转变增加。此外,TAI 等^[20] 研究发现,As₂O₃ 和 Rapa 在前列腺癌细胞中发挥协同作用,诱导前列腺癌细胞的凋亡,As₂O₃ 和 Rapa 协同上调 Beclin-1、LC3-II,诱导自噬发生可能是其潜在机制。LI 等^[17] 研究发现,Rapa 可增强 As₂O₃ 诱导的自噬活性,下调抗凋亡基因 Bcl-2 和上调 p53 基因表达,增强 As₂O₃ 对 Raji 细胞的杀伤效应、增加 Raji 细胞对 As₂O₃ 的敏感性。本研究结果与以上报道相似,与单药相比,以低于 IC₅₀ 值的 As₂O₃ 与 Rapa 联合用药可提高 THP-1 细胞增殖抑制率及凋亡率,同时联合用药组细胞自噬活性也明显增加。

综上所述,As₂O₃ 联合 Rapa 可协同抑制 THP-1 细胞的增殖,诱导 THP-1 细胞的凋亡,其效应可能是通过引起 THP-1 细胞过度自噬实现,但 As₂O₃ 联合 Rapa 的临床前试验或临床试验尚需进一步探索。

参考文献:

- [1] 中华医学会血液学分会白血病淋巴瘤学组. 成人急性髓系白血病(非急性早幼粒细胞白血病)中国诊疗指南(2017年版)[J]. 中华血液学杂志, 2017, 38(3): 177-182.
- [2] 赵维莅, 陈赛娟. 神剂治疗白血病-人类肿瘤靶向治疗的新模式[J]. 中华医学杂志, 2005, 85(7): 439-440.
- [3] 张彦平, 刘蒙蒙, 展新荣. 地西他滨联合三氧化二砷治疗老年急性髓系白血病的疗效及安全性[J]. 新乡医学院学报, 2019, 36(12): 1163-1166.
- [4] MOOSAVI M A, DJAVAHERI-MERGNY M. Autophagy: new insights into mechanisms of action and resistance of treatment in acute promyelocytic leukemia[J]. *Int J Mol Sci*, 2019, 20(14): 3559.
- [5] XIA P, XU X Y. PI3k/AKT/mTOR signaling pathway in cancer stem cells: from basic research to clinical application[J]. *Am J Cancer Res*, 2015, 5(5): 1602-1609.
- [6] 刘晓蕾, 刘丽英. 自噬在儿童急性淋巴细胞白血病发生中的作用[J]. 中华实用儿科临床杂志, 2017, 32(15): 1184-1186.
- [7] GHIDINI M, PETRELLI F, GHIDINI A, et al. Clinical development of mTOR inhibitors for renal cancer[J]. *Expert Opin Investig Drugs*, 2017, 26(11): 1229-1237.
- [8] LEE J J, LOH K, YAP Y S. PI3K/Akt/mTOR inhibitors in breast cancer[J]. *Cancer Biol Med*, 2015, 12(4): 342-354.
- [9] KOCATURK N M, AKKOC Y, KIG C, et al. Autophagy as a molecular target for cancer treatment[J]. *Eur J Pharm Sci*, 2019, 134: 116-137.
- [10] DAL COL J, ZANCAI P, TERRIN L, et al. Distinct functional significance of Akt and mTOR constitutive activation in mantle cell lymphoma[J]. *Blood*, 2008, 111(10): 5142-5151.
- [11] WANNER K, HIPP S, OELSNER M, et al. Mammalian target of rapamycin inhibition induces cell cycle arrest in diffuse large B cell lymphoma (DLBCL) cells and sensitises DLBCL cells to rituximab[J]. *Br J Haematol*, 2006, 134(5): 475-484.
- [12] WITZIG T E, REEDER C B, LAPLANT B R, et al. A phase II trial of the oral mTOR inhibitor everolimus in relapsed aggressive lymphoma[J]. *Leukemia*, 2011, 25(2): 341-347.
- [13] SMITH S M, VAN BESIEN K, KARRISON T, et al. Temsirolimus has activity in non-mantle cell non-Hodgkin's lymphoma subtypes: the University of Chicago phase II consortium[J]. *J Clin Oncol*, 2010, 28(31): 4740-4746.
- [14] 杨曦, 龚玉萍, 杨雷. 雷帕霉素单药及联合硼替佐米、柔红霉素对白血病细胞株抗肿瘤效应的研究[J]. 中华血液学杂志, 2010, 31(3): 201-203.
- [15] RHEINGOLD S R, TASIAN S K, WHITLOCK J A, et al. A phase 1 trial of temsirolimus and intensive re-induction chemotherapy for 2nd or greater relapse of acute lymphoblastic leukaemia: a Children's Oncology Group study (ADVL114)[J]. *Br J Haematol*, 2017, 177(3): 467-474.
- [16] DAVER N, BOUMBER Y, KANTARJIAN H, et al. A Phase I/II study of the mTOR inhibitor everolimus in combination with hyperCVAD chemotherapy in patients with relapsed/refractory acute lymphoblastic leukemia[J]. *Clin Cancer Res*, 2015, 21(12): 2704-2714.
- [17] LI C L, WEI H L, CHEN J, et al. Arsenic trioxide induces autophagy and antitumor effects in Burkitt's lymphoma Raji cells[J]. *Oncol Rep*, 2014, 32(4): 1557-1563.
- [18] LI T, MA R, ZHANG Y, et al. Arsenic trioxide promoting ETosis in acute promyelocytic leukemia through mTOR-regulated autophagy[J]. *Cell Death Dis*, 2018, 9(2): 75.
- [19] GOUSSETIS D J, GOUNARIS E, WU E J, et al. Autophagic degradation of the BCR-ABL oncprotein and generation of anti-leukemic responses by arsenic trioxide[J]. *Blood*, 2012, 120(17): 3555-3562.
- [20] TAI S, XU L, XU M, et al. Combination of arsenic trioxide and everolimus (RAD001) synergistically induces both autophagy and apoptosis in prostate cancer cells[J]. *Oncotarget*, 2017, 8(7): 11206-11218.

(本文编辑:周二强)

(上接第 817 页)

- [6] UURTO I, JUUTI H, PARKKINEN J, et al. Biodegradable self-expanding poly-L/D-lactic acid vascular stent: a pilot study in canine and porcine iliac arteries[J]. *J Endovasc Ther*, 2004, 11(6): 712-718.
- [7] BAO Q H. Microstructure, mechanical and corrosion properties of Mg-Y-Ca-Zn alloy for biomedical applications[J]. *J Biomater Biomater Eng*, 2013, 17: 45-51.
- [8] 林正捷, 赵颖, 张志雄, 等. 医用可降解镁合金抗菌性、溶血以及生物相容性的研究进展[J]. 稀有金属材料与工程, 2018, 47(1): 403-408.
- [9] BIRCAAA C, NEACSU I A, VASILE O R, et al. Mg-Zn alloys, most suitable for biomedical applications[J]. *Rom J Morphol Embryol*, 2018, 59(1): 49-54.
- [10] ZHANG M, CAI S, ZHANG F, et al. Preparation and corrosion resistance of magnesium phytic acid/hydroxyapatite composite coatings on biodegradable AZ31 magnesium alloy[J]. *J Mater Sci Mater Med*, 2017, 28(6): 82.
- [11] CUI X, LI Y, LI Q, et al. Influence of phytic acid concentration on performance of phytic acid conversion coatings on the AZ91D magnesium alloy[J]. *Mater Chem Technol*, 2008, 111(2/3): 503-507.
- [12] GUPTA R K, MENSAH-DARKWA K, KUMAR D. Effect of post heat treatment on corrosion resistance of phytic acid conversion coated magnesium[J]. *J Mater Sci Technol*, 2013, 29(2): 180-186.
- [13] 袁广银, 张佳, 丁文江. 可降解医用镁基生物材料的研究进展[J]. 中国材料进展, 2011, 30(2): 44-50.
- [14] 姜东梅. Mg-Zn-Ca-Zr/Nd/Y 生物镁合金组织、力学性能和腐蚀行为研究[D]. 长春: 吉林大学, 2014.
- [15] 张佳, 宗阳, 付彭怀, 等. 镁合金在生物医用材料领域的应用及发展前景[J]. 中国组织工程研究与临床康复, 2009(29): 5747-5750.
- [16] 李涛, 张海龙, 何勇, 等. 生物医用镁合金研究进展[J]. 功能材料, 2013, 44(20): 2913-2918.
- [17] 王啸虎, 阎钧, 陈义刚, 等. 生物可降解镁合金临床应用研究进展[J]. 材料导报, 2013, 27(21): 93-96.
- [18] CHEN J, TAN L, YU X, et al. Mechanical properties of magnesium alloys for medical application: a review[J]. *J Mech Behav Biomed Mater*, 2018, 87: 68-79.

(本文编辑:孟月)